



فهرست مطالب

تکنیک پایداری

- ① گود برداری‌های خود ایستا
- ② انواع لغزشها
- ③ ضریب ایمنی گود
- ④ پایداری گود با خاک همگن
- ⑤ پایداری گود با لایه ضعیف
- ⑥ پایداری گود با لغزش گوه شکل
- ⑦ پایداری گود به روش قطعات
- ⑧ پایداری گود با استفاده از گراف‌ها
- ⑨ پایداری گود با استفاده از نرم افزارها

Dr. Hasan Ghasemzadeh 3

روش‌های مختلف گودبرداری

گودبرداری با شبیب مطمئن

Open-Cut

Open-Cut

4

روش‌های مختلف گودبرداری

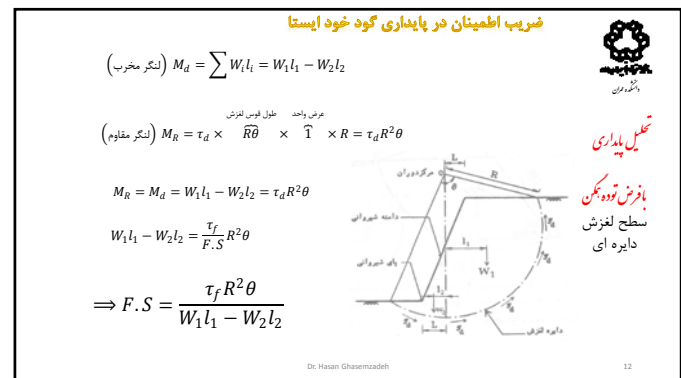
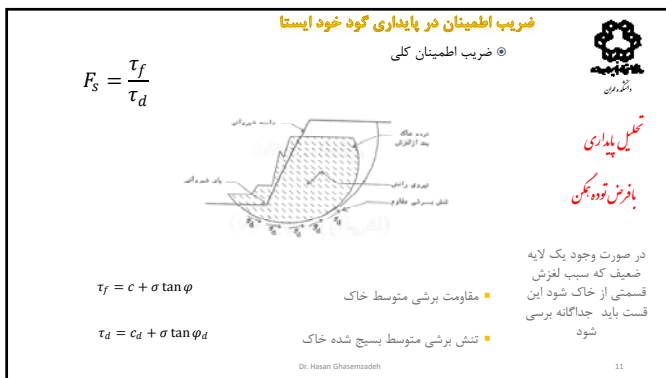
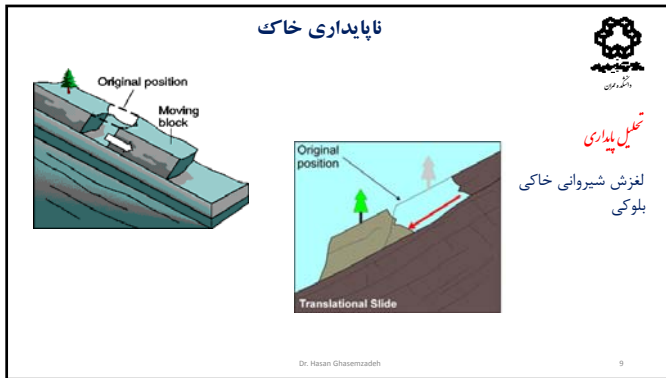
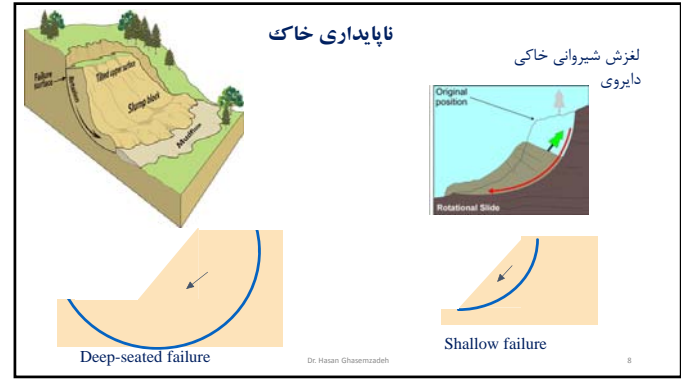
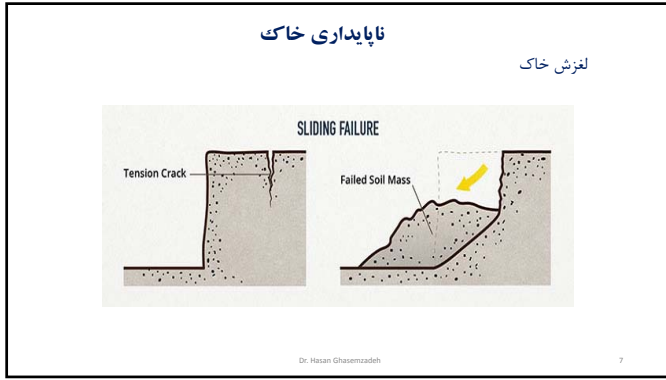
گودبرداری پله‌ای

Open-Cut

گودبرداری پله‌ای

HFW : horizontal face width
BW : bench width
BH : bench height
A : bench slope angle
B : overall slope angle
D : drainage ditch (diagrammatic)

6



ضریب اطمینان در پایداری گود خود ایستا

◎ عدم وجود جریان آب

$\tau = \frac{T_a}{A} = \frac{W \sin \beta}{bc} = \frac{\gamma L H \sin \beta}{(L/\cos \beta)} = \gamma H \sin \beta \cos \beta$

$\sigma = \frac{N_a}{A} = \frac{W \cos \beta}{bc} = \frac{\gamma L H \cos \beta}{(L/\cos \beta)} = \gamma H \cos^2 \beta$

$\tau_f = \sigma \tan \phi + C$

$F.S = \frac{\sigma \tan \phi + C}{\tau} = \frac{\gamma H \cos^2 \beta \tan \phi + C}{\gamma H \sin \beta \cos \beta}$

$\Rightarrow F.S = \frac{\tan \phi}{\tan \beta} + \frac{C}{\gamma H \sin \beta \cos \beta}$

Dr. Hasan Ghasemzadeh

13

ضریب اطمینان در پایداری گود خود ایستا

■ وزن گوده

■ مساحت گوده

■ مساحت سطح لغزش

$W = \gamma V \xrightarrow{\text{عرض برابر}} W = \gamma S$

$S = 0.5mH$

$m = H(\cot \theta - \cot \beta) \rightarrow S = 0.5H^2(\cot \theta - \cot \beta)$

$n = \frac{H}{\sin \theta} \rightarrow A = \frac{H}{\sin \theta}$

$F.S = \frac{\sigma \tan \phi + C}{\tau_d} = \frac{[\frac{W \cos \theta}{A}] \tan \phi + C}{[\frac{W \sin \theta}{A}]} = \frac{[W \cos \theta] \tan \phi + C A}{[W \sin \theta]}$

$F.S = \frac{\tan \phi}{\tan \theta} + \frac{2C}{\gamma H} \left[\frac{\sin \beta}{\sin \theta \sin(\beta - \theta)} \right]$

Dr. Hasan Ghasemzadeh

14

ضریب اطمینان در پایداری گود خود ایستا

◎ روش فلپوس

■ فرض: برآیند نیروهای بین قطعات صفر

$FS = \frac{\sum(c\beta + N \tan \phi)}{\sum W \sin \alpha} = \frac{\sum S_{\text{میان}}}{\sum S_{\text{کسر}}}$

تکلیف مداری

روش قطعات فلپوس

روش قطعات پیشساب

c = cohesion.
 β = slice base length.
 N = base normal ($W \cos \alpha$).
 ϕ = friction angle.
 B' = slice weight, and
 α = slice base inclination.

Dr. Hasan Ghasemzadeh

15

پایداری شب بر اساس عدد پایداری

Stability Number

The stability of homogeneous slopes is a function of

- the slope geometry
- the stability number, N

$N = \frac{c}{\gamma H}$

با استاد از کران

CASE 1: The most dangerous of the circums passing through the end of the slope. This case is the same as Case 2 if the slope is vertical. In this case, the factor of safety is the same as the factor of safety of the vertical slope.

CASE 2: The most dangerous of the circums passing through the middle of the slope. This case is the same as Case 3 if the slope is vertical. In this case, the factor of safety is the same as the factor of safety of the vertical slope.

CASE 3: The most dangerous of the circums passing through the end of the slope. This case is the same as Case 1 if the slope is vertical. In this case, the factor of safety is the same as the factor of safety of the vertical slope.

Dr. Hasan Ghasemzadeh

16

پایداری شب بر اساس عدد پایداری

$N_1 = \frac{c_1}{\gamma_1 H_1}$

$N_2 = \frac{c_2}{\gamma_2 H_2}$

If the slopes are geometrically similar, $i_1 = i_2$, and $N_1 = N_2$
 the factor of safety of the two situations is the same

Dr. Hasan Ghasemzadeh

17

پایداری شب بر اساس عدد پایداری

تنش موثر

فریبت

۱- بدون جریان آب

۲- سطح شکست دایره ای

۳- معیار موهر کولمب

۴- بدون ترک کششی

۵- شب محدود و خاک هموزن

$c_d = \frac{c'}{F_c}; \tan \phi_d = \frac{\tan \phi'}{F_\phi}$

$\tau_d = c_d + \sigma' \tan \phi_d$

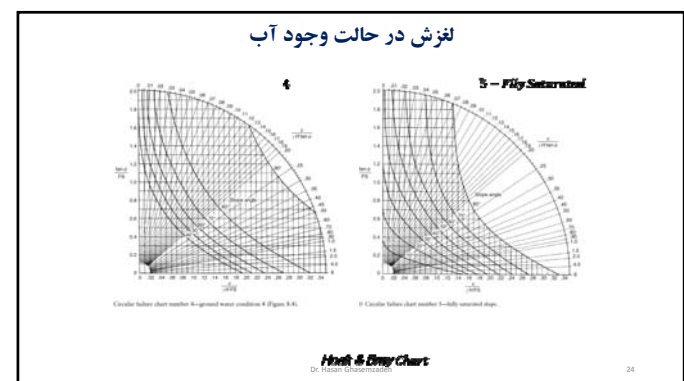
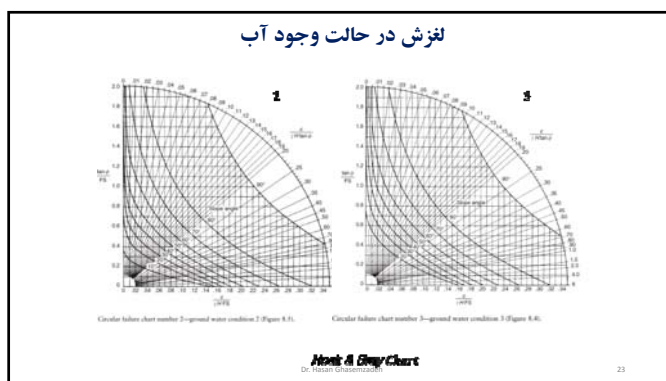
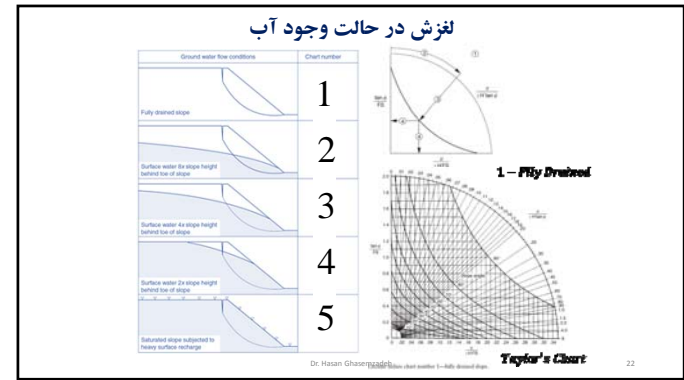
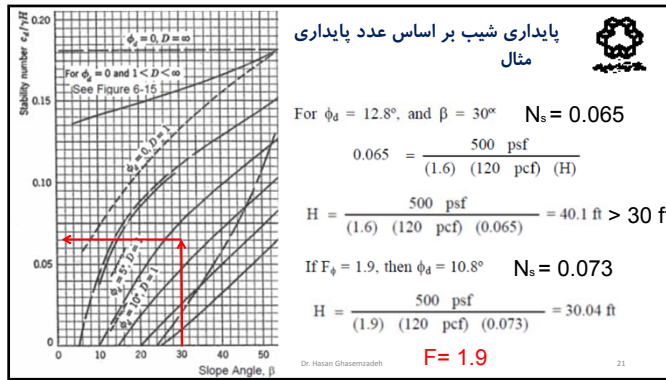
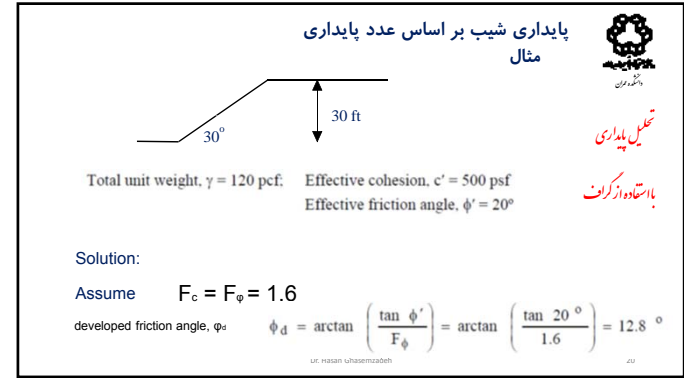
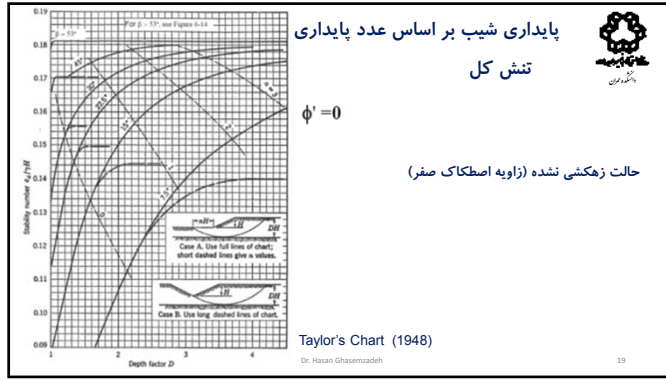
$N_s = \frac{c_d}{\gamma H} = \frac{c'}{F_c \gamma H}$

$F_c = \frac{c'}{N_s \gamma H}$

Taylor's Chart (1948)

Dr. Hasan Ghasemzadeh

18



نفرش در حالت وجود آب

To demonstrate the use of the charts consider the case of a slope 10 m high with a slope of 20 degrees in a clayey soil with properties $c_s = 20$ kN/m², $\phi_s = 5^\circ$, $c' = 2$ kN/m², $\phi' = 25^\circ$, $\gamma_a = 16$ kN/m³. In the long term the water table is at the surface for distances greater than 40 m behind the toe of the slope.

مثال

When using Hoek and Bray charts it is important that effective strength parameters c' and ϕ' are used.

- Determine the appropriate chart from the known position of the water table. In this example it is Chart 3
- Calculate $\frac{c}{\gamma H \sin \phi} = \frac{2}{16 \times 10 \times \sin 25^\circ} = 0.027$
- For slope angle 20° read off chart
 - either $\frac{c}{\gamma F} = 0.039$
 - or $\frac{\tan \phi}{F} = 0.518$
- Hence $F = 0.9$ (The slope would fail)

Dr. Hasan Ghasemzadeh

ضریب اطمینان در پایداری گود خود ایستا

تکلیف پایداری

روش قطعات فلینیوس
روش قطعات بیشاب
روش تعادل حدی
روش آنالیز حدی
روش های عددی

نرم افزارها

Dr. Hasan Ghasemzadeh

معیارهای انتخاب نوع نگهدارنده

- نعماد و معدوریت فناوری کاری صایت
- جهم کار و فصل ساخت گود
- شكل و شرایط تپوکرافی صایت
- شرط همایانگی یک صایت
- شرط اونتکلینیک و سطح آب زیرزمینی
- در دسترس بودن مهارت لازمه (کاری)
- موهبدیت تهیهات فاصن
- طرن داطل لبرزمین
- منابع مالی پرداز و محدودیت هزینه
- محدودیت طارقی ریز نگهدارنده
- وضعیت نگهداری موقع و دامنه گود
- مدت زمان اجرای گود

Dr. Hasan Ghasemzadeh

معیارهای انتخاب نوع نگهدارنده

نتایج عدم انتخاب درست درست روش حفاری و نگهداری گود

صرف زمان طولانی
هزینه های گراف

خسارت ناشی از فروریختن یا تغییر شکلهای زیاد گود

گاهی برؤژه ها با چندین برابر زمان و هزینه ای برآورد شده ای اولیه به اتمام می رسد.

Dr. Hasan Ghasemzadeh

روش های حفاری و حفاظت از گود

مهاربندی توسط

- المان های افقی و مائل (Braced wall using wale struts)
- المان های گشته (Soldier beam& lagging)
- سپر کریب (Braced sheet pile)
- شم های درجا (Bored pile walls)
- دیوار دیافراگمی (Diaphragm walls-Slurry wall)
- نیلینگ و انکراز (Soil nailing and anchorage)
- اصلاح خاک (Soil improvement)

Dr. Hasan Ghasemzadeh

Dr. Hasan Ghasemzadeh